

الباليولوجية والسحنات الباليولوجية لتكويني (مادي والسبعين (الجوراسي المتأخر)

في حوض السبعين - الجمهورية اليمنية

عبد الوهاب صالح العوج⁽¹⁾

ABSTRACT

Palynological analysis of 93 cores and drill cutting samples of subsurface sediments of Saba'atyn Basin, NE Yemen were examined. These samples revealed that, large amount of palynomorph (Dinocysts, Spors, Polln, ...etc) are present. Based on these palynomorph, four assemblage zones are established:

(MI-MIII) assemblage zones represent the Kimmeridgian-Tithanian, Madbi Formation and (MIV) assemblage zone of Tithanian, Saba'atyn Formation.

The terrestrial and marine palynomorph of the Middle and Upper parts of Amran Group are documented in this study to represent in the changes of depositional environment from marine environment in the Meem Member to terrestrial environment in the Alif Member.

Four main palynofacies (PF1-PF4) parameters appear as good indicators of proximal-distal trends: the relative proportion of phytoclasts, amorphous organic matter, the ratio of marine to continental palynomorph and the relative amount of dinocysts.

ملخص

يعنى هذا البحث بدراسة المتحجرات العضوية الدقيقة وسحنتها (Plynofacies & Plynomorphs) لتتابع الصخور الرسوبية تحت سطحية في حوض السبعين الأخدودي الواقع شمال شرق اليمن والتي أرجعت في العمر إلى العصر الجوراسي المتأخر (كميريديجين - تيثونين).

(1) جامعة نعر - كلية العلوم - قسم الجيولوجيا

حيث استخدمت عينات الآبار الاستكشافية (لباب وفتات) وأمكن التعرف على عدد كبير من الأجناس والأنواع للمتحجرات العضوية الدقيقة (مكتيسات ذوات السوطين، الابواغ وحبوب الطلع الخ) التي من خلالها تم تحديد العمر الجيولوجي وتعيين الانطقة الحياتية (Assemblage Zones) لهذا التتابع وتم التعرف على أربعة من الانطقة الحياتية الرئيسة كما يأتي:

- أنطقة التجمع من (M-I) إلى (M-III) المتمثلة بتكوين مدبي والتي ترسبت خلال الكيميريديجين - التيثوني المبكر، ونطاق التجمع (M-IV) والمتمثل بتكوين السبعين ضمن مجموعة عمران والذي ترسب خلال التيثوني (Tithonian).

فضلاً عن ذلك أمكن التعرف على البيئة الترسيبية لهذا التتابع من خلال دراسة السحنة الباليولوجية وعلاقتها بالمناخ القديم والاستدلال منها على وجود تدرج بيئي من البيئة البحرية في الجزء الشمالي من الحوض إلى البيئة الشاطئية/الدلتاوية باتجاه الجنوب والتي تتحول إلى بيئة متبخرات في نهاية الدورة الترسيبية والممثلة بعضو صافر الملحي الذي يشكل غطاء إقليمي للتواجدات الهيدروكربونية في هذا الحوض.

المقدمة Introduction

يقع حوض السبعين الأخدودي (Saba'atyn Rift Basin) في شمال شرق اليمن وعلى امتداد نظام نجد التصديعي (ش غ-ج ش) كنتيجة لتجدد نشاط خطوط بنائيه قديمه لما قبل الكامبري أثناء فتره تكسر قارة الجندوانا القديمة في نهاية حقبة الحياة الوسطى، وكما هو موضح في شكل (1).

يضم هذا الحوض تتابع من الصخور الرسوبية من العصر البرمي أو اقدم منها وحتى العصر الرباعي، ويحوي تتابع الجوراسي الأوسط / الطباشيري المبكر صخور مجموعه عمران التي تضم:

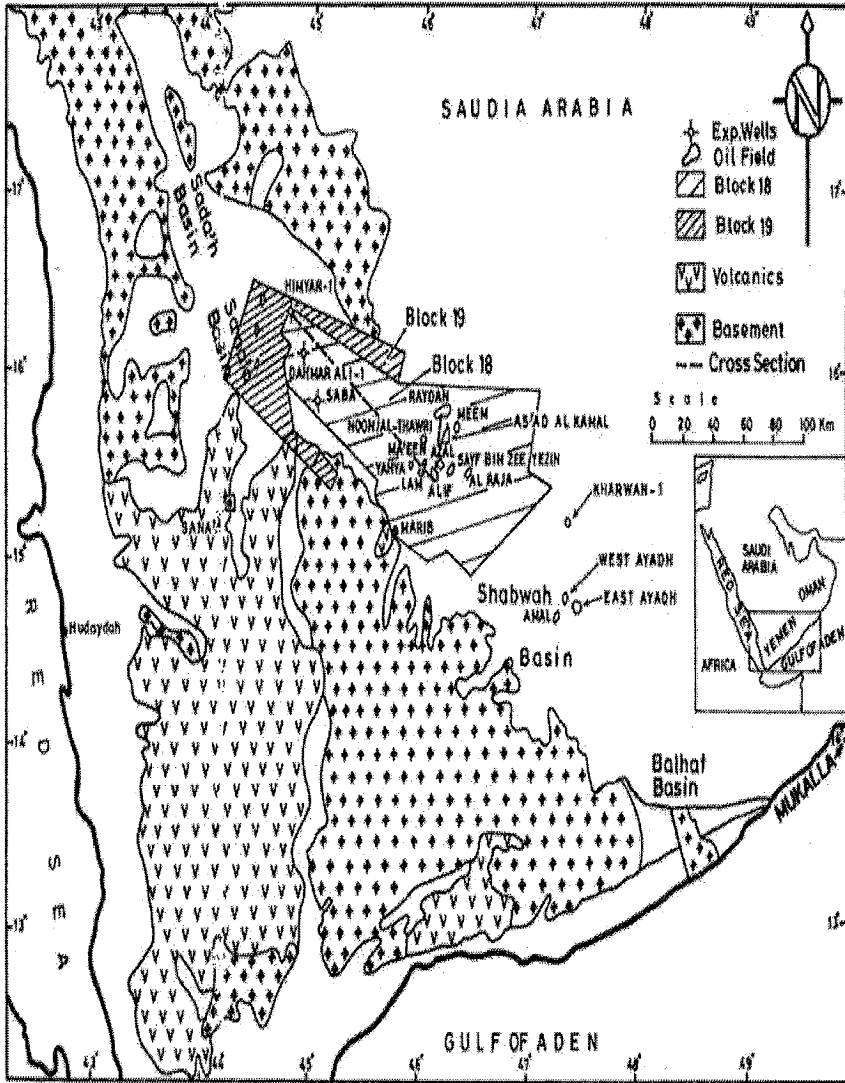
تكوين شقرة: ويتكون من صخور الحجر الجيري والدولوميت بصورة أساسية ولن نتعرض لهذا التكوين في هذه الدراسة.

تكوين مدبي: ويتكون من صخور الحجر الجيري والطفل والمارل ويسفل هذا التكوين بصورة توافقية تكوين شقرة الجيري ويضم تكوين المدبي عضوي ميم ولام كصخور مصدرية للتواجدات الهيدروكربونية في هذا الحوض، وتعالق هذا التكوين بصورة توافقية صخور تكوين السبعتين وهذه الدراسة تختص بهذين التكوينين فقط.

تكوين السبعتين: ويحتوي صخور الحجر الرملي، الملح الصخري والطفل وتعد صخور عضو الف الرملية في هذا التكوين الصخور المكمنية الرئيسية في هذا الحوض، أما عضو صافر فيتكون في مجمله من الملح الصخري وتتداخل به طبقات رقيقة من الطفل في أجزائه العلوية ويعتد هذا العضو الغطاء الرئيس في حوض السبعتين والأحواض المجاورة، كما هو موضح في شكل (1) (Beydoun, et al.,1998).

تكوين نيفع: ويحتوي صخور الحجر الجيري، الطفل والحجر الرملي ولن نتعرض لهذا التكوين في هذه الدراسة.

تعد هذه الدراسة هي الأولى في هذا المجال نظراً لصعوبة الحصول على عينات تحت سطحية من الآبار الاستكشافية وخاصة لدراسة السحنات البالينولوجية لتتابع الصخور الرسوبية في الجمهورية اليمنية رغم قيام بعض الشركات النفطية العاملة في اليمن بمثل هذه الدراسات ولكنها غير منشورة ويصعب الحصول عليها.



كل (1) خريطة جيولوجية توضح مواقع
 قع الآبار الاستكشافية المدروسة وموضح عليها موقع
 القطاع الجيولوجي (انظر شكل -2)

العينات وطرق الدراسة Methodology & Samples

لقد تم تحليل ودراسة ثلاثة وتسعون عينة لبابيه وقتاتييه بالطرق الباليولوجية المعروفة من آبار استكشافية وإنتاجية مختارة من حوض السبعين الأخدودي (Saba'atyn Rift Basin)، وان الأعماق والوحدات الصخرية والطباقية الممثلة لهذه العينات قد وضحت في أشكال (1-8) والتي توضح خارطة توزيع المدى (Distribution Range Chart).

الباليولوجية وطباقية الجوراسي المتأخر Palynostratigraphy & Stratigraphy of Late Jurassic

تم الاستخلاص و التعرف على مجاميع الباليومورفات (Plynomorphs) بالطرق الباليولوجية المعروفة وبفحصها ودرستها تحت الميكروسكوب الضوئي، امكن التعرف على عدد من متكيسات ذات السوطين، الابواغ، حبوب الطلع وبعض الكريتارك ومواد معيدة الترسيب من الكايتينات (Chitinozoa) هذه الاخيرة يمكن إرجاع اصلها إلى حدوث تعريه لصخور متبقية الحياة القديمة في شمال اليمن وجنوب السعودية من صخور ذات اصل بحري أيضاً. فضلاً عن وجود بطانة الفورامنيفرا في العينات المدروسة.

لقد تم التعرف على أربعة من الأنطقة الحياتية من نوع نطاق التجمع (Assemblage Zone) باعتماد مدلول الظهور والاختفاء الأول والأخير لأنواع المتحجرات المرشدة من متكيسات ذات السوطين (First & Last Appearance Datum "FAD & LAD") على النحو التالي:

نطاق التجمع الأول (M-I)

تعتبر بنر حمير-1 (H-1) المنطقة النموذج لهذا النطاق الحياتي وللعينات (H-35) إلى (H-50) كما هو موضح في الأشكال (3، 5-6) ويضم الانواع والاجناس التالية:

Gonyaulacysta nuciforme, Occisuscyta monoheuriskos, Leptodinium amabilis, Cribroperidinium cf. Caudum, Systematophora orbifera, Systematophora areolata, pareodinia ceratophora, Gleichnidites senonicus, Concavissi- misporites sp.

ومن خلال مقارنة مجاميع الباليينومورفات المذكورة مع مثيلاتها من مناطق أخرى من العالم (Gitmez & Sarjeant, 1972); (Olmstead, (Sarjeant, 1979); (et. al., 1996); (Helby, et. al., 1987); (Poulsen, 1996); (et. al., 1996); أن هذا النطاق يرجع في العمر إلى الكيميريديجين (Kimmeridgian).

نطاق التجمع الثاني (M-II)

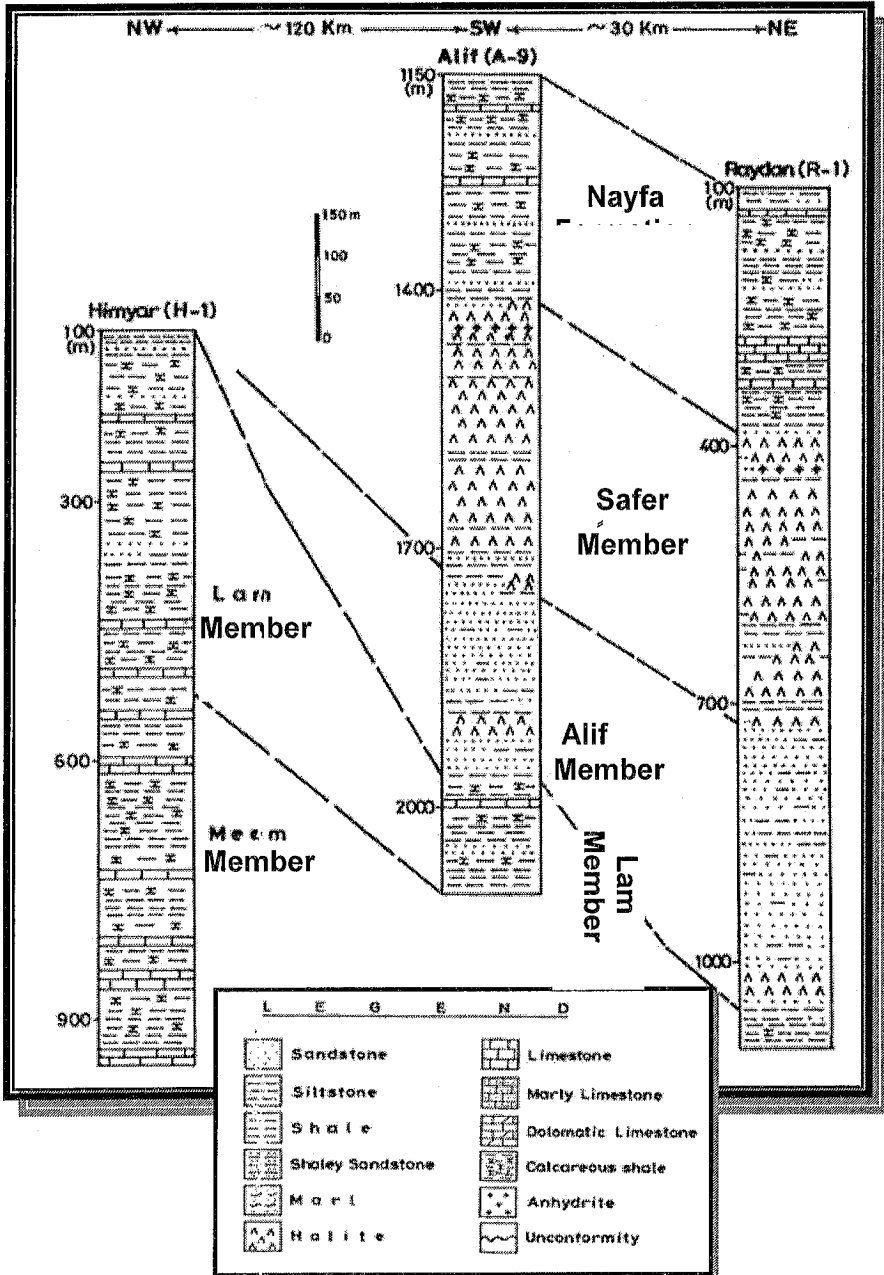
اعتبرت بئر حمير-1 (H-1) المنطقة النموذج لهذا النطاق وللعينات (H-33) إلى (H-22) كما هو موضح في الأشكال (3 ، 5-6) ويضم نطاق التجمع الثاني الأجناس والأنواع التالية:

Cribroperidinium perforans, Systematophora daveyi, Pareodinia groenladica, Cribroperidinium granulatum, Cicatricosisporites annulatus, Cicatricosisporites aralica, Classopollis classoides, Barbatacysta brevispinosa, Cribroperidinium sp. B.

ومن خلال مقارنة مجاميع الباليينومورفات المذكورة مع مثيلاتها في العالم مثل الدراسات التي قام بها كل من:

(Davey, 1988); (Jiang et al., 1992); (Poulsen, 1996); (Ridding & Thomas, 1988; 1992); (Sarjeant, 1975; 1979)

أمكن التعرف على أن عمر هذا النطاق هو الكيميريديجين (Kimmeridgian).



شكل (2) قطاع جيولوجي للتكوينات المدروسة (لتحديد المرفق انظر شكل (1)

نطاق التجمع الثالث (M-III)

ويمثل بئر حمير-1 (H-1) المنطقة النموذج لهذا النطاق وللعينات (H-21) إلى (H-9) وعينات (A-31) و (A-38) من بئر ألف-9 (A-9) حيث تم التعرف على الأجناس والأنواع التالية فيها:

Osmundacidites senectus, *Cribroperidinium globatum*, *Protobatioladinium imbatodinense*, *Cribroperidinium cf. longicorne*, *Cribroperidinium sarjeantii*, *Gonualcysta scotti*, *Cyathidites australis*, *Systematophora Palmula*, *Hystricosphaerina sp.*, *Concavissimisporites parkinii*

وبمقارنة مجاميع الباليومورفات المذكورة مع مناطق أخرى بالعالم أمثال دراسة كلاً من:

(Thusu & Vigran, 1985); (Thusu et. al., 1988); (Sarjeant, 1975; 1979; 1982); (Lentin & Vozzhennikova, 1990); (Davey, 1982); (Quattrocchio & Sarjeant, -1992).

أمكن تحديد العمر لهذا النطاق بالكميريدجين المتأخر-التيثوني المبكر كما هو موضح بالأشكال (3-7).

نطاق التجمع الرابع (M-IV)

يعد بئر ألف-9 (A-9) المنطقة النموذج لهذا التجمع وللعينات (A-36) إلى (A-13) وكذا العينات (R-34) إلى (R-17) من بئر ريدان-1 (R-1) حيث تم التعرف على الأجناس والأنواع التالية:

Systematophora per.cillata, *Pareadinia ceratophora*, *Meiourogonyaualax dicryptos*, *cyclonephelium spp.*, *Biretisporites Potoniaei*, *Cribroperidinium SPP.*, *Classopollis sl. p.*, *Pterospermopsis spp.*

ومن خلال مقارنة هذه الباليومورفات مع مثيلاتها من مناطق أخرى من العالم أمثال دراسة كلاً من:

(Poulsen, 1996); (Durr, 1988); (Quattrocchio & Sarjeant, 1992), (Jan De Chene et. al., 1978), (Hunt, 1985)

أمكن التعرف على أن عمر نطاق التجمع الرابع هو التيثوني المتأخر كما هو موضح بالأشكال (4، 7-8).

السحنات الباليولوجية Palynofacies

تم التعرف على أربع سحنات باليولوجية (PF1 - PF4) من خلال تحضير ودراسة العينات الفتاتية واللبابية للآبار المختارة من حوض السبعين اعتماداً على تغير تعداد الباليينومورفات ونسب المواد العضوية عديمة الشكل التركيبي والفيتوكلاست فيها وكما هو موضح في الأشكال (1-8) ويمكن تفصيل ذلك كما يلي:

السحنة الباليولوجية الأولى (PF1)

يكثر فيها مجاميع الباليينومورفات من السحنتين الثالثة والرابعة وتتشابه مع السحنة الثانية من تعدد وتنوع متكيسات ذات السوطين حيث تضم ما بين (40-60%) من مجموع الباليينومورفات وتعد المتكيسات (Dyncocyst) أكثر تنوعاً من تجمع الأبوغ وحبوب الطلع مما يدل على البيئة البحرية وكذلك كثرة تواجد متكسرات بطانة الفورامنيفيرا (Foraminiferal test lining) وتقع امتداد هذه السحنة ضمن عضو ميم.

وبالنسبة للمواد العضوية عديمة الشكل التركيبي (Amorphous Organic Matter "AOM") فتتواجد في هذه السحنة بما يصل إلى (60-70%) من إجمالي المادة العضوية جميعها ("SOM" Sedimentary Organic Matter) بينما تمثل المكونات النباتية الفايثوكلاست (Phytoclasts) نسبة (3-12%) مما يدل على بعد بيئة هذه السحنة عن الشاطئ ونلاحظ أن هذه السحنة تضمحل تدريجياً من شمال الحوض وباتجاه الجنوب الشرقي من هذا الحوض، من آبار سبأ وذمار علي وحتى آبار ريدان، وكما هو موضح في الأشكال (1-2) و لكنها تظل ممتدة باتجاه الجنوب حتى آبار حقل الرجاء.

وبالنسبة للمكونات الصخرية المستضيفة لهذه المواد العضوية عادة، هو (الطفلة الجيري) (Calcareous Shale). و سجلت هذه السحنة كلياً من بئر حمير-1 (H-1) وكما هو موضح في الأشكال (1-3، 5-5).

السحنة الباليولوجية الثانية (PF2)

تضم هذه السحنة مجاميع الباليومورفات (Palynomorph) بنسبة عالية أيضاً ولكن ما يميزها عن السحنة الأولى (PF1) ازدياد نسبة الابواغ وحبوب الطلع ونقصان متكسرات بطانة الفورانيفيرا مع بقاء نسبة متكيسات ذات السوطين جيدة حيث تمثل 40-50% من مجموع الباليومورفات الملاحظ ان المكونات القارية تزيد نسبتها من خلال ازدياد نسبة الفيتوكلاست أيضاً لتصل إلى (15-20%) بينما تقل نسبة المواد العضوية عديمة الشكل التركيبي (AOM) وخاصة من آبار ريدان وكما هو موضح في الشكل (1) لتصبح حوالي (30-40%) من إجمالي المواد العضوية الرسوبية (SOM) وخاصة في الجزء العلوي من مدى هذه السحنة ويمكن ملاحظة أنها تمثل بيئة بحرية مع تواجد لا إمداد نهري متداخل مع هذه البيئة البحرية. المكونات الصخرية المصاحبة لهذه السحنة هي الطفل والمارل مع بعض طبقات رملية متداخلة. تقع هذه السحنة وهذه السحنة تقع ضمن عضو لام التي سجلت كلياً من آبار ريدان و الف وجزئياً من بئر حمير كما هو موضح في الأشكال (1-3، 5-6).

السحنة الباليولوجية الثالثة (PF3)

بمقارنة هذه السحنة مع السحنتين الأولى والثانية وجد أن مجاميع الباليومورفات ضئيلة نسبياً وخاصة لمتكيسات ذات السوطين التي تصل إلى (15-20%) من مجموع الباليومورفات كما ان نسبة الفيتوكلاست تزداد لتصل إلى (30-40%) وتقل المواد العضوية عديمة الشكل التركيبي (AOM) لتصبح حوالي (15-25%) من إجمالي المادة العضوية الرسوبية (SOM) أما المكونات

الصخرية المصاحبة لهذه المواد هي الصخور الرملية والطفل وتقع هذه السحنة ضمن عضو ألف ولقد سجلت هذه السحنة كلياً من آبار ريدان وألف (A-9;R-1) وكما هو موضح في الأشكال (1-7) وعليه فإن هذه السحنة تضمحل باتجاه الشمال والشمال الغربي للحوض.

السحنة الباليولوجية الرابعة (PF-4)

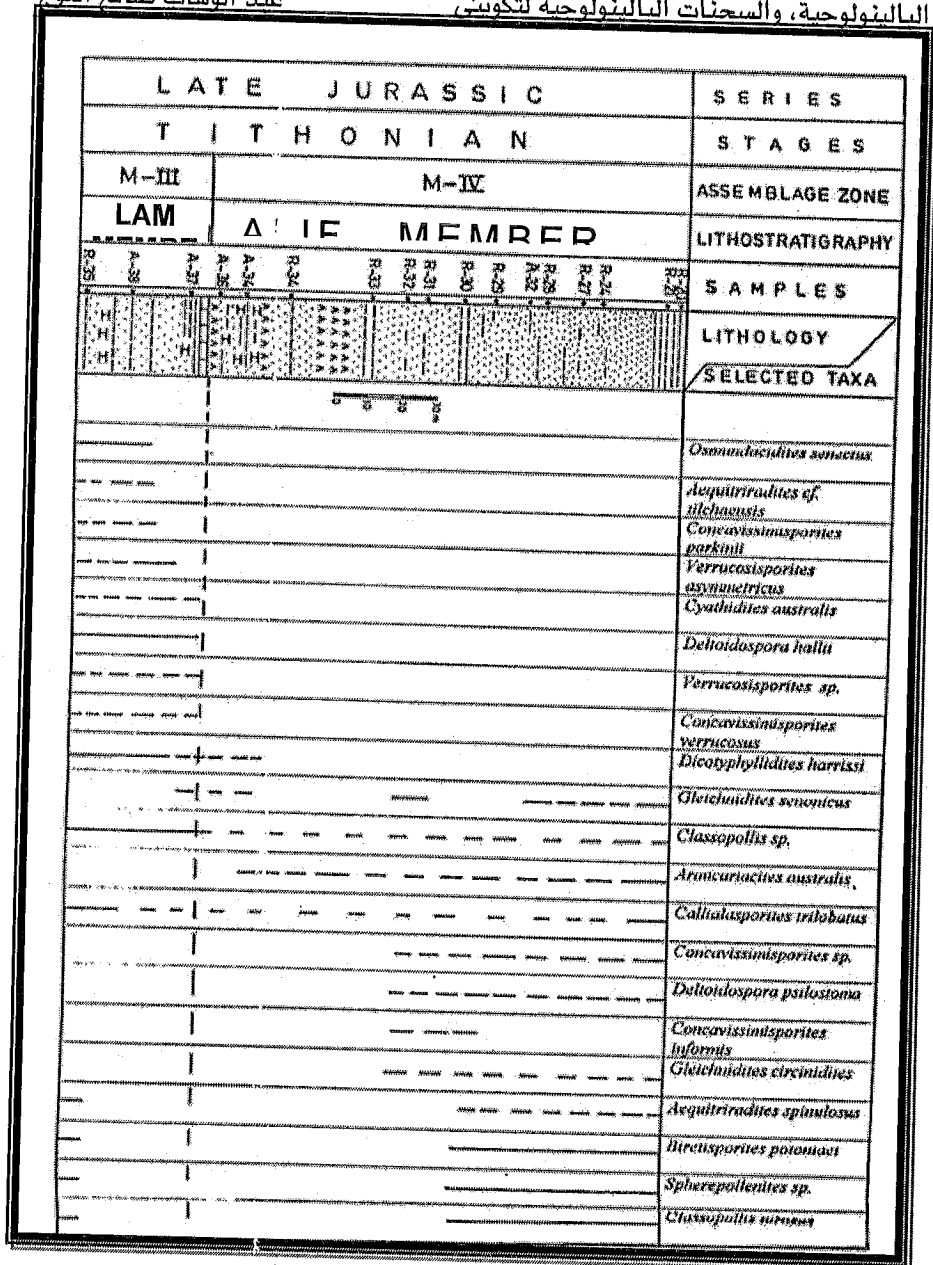
تتميز السحنة الرابعة بالتواجد الأقل لجميع المادة العضوية الرسوبية (SOM) مقارنة بالسحنات المذكورة سابقاً وخاصة للمادة العضوية ذات الشكل التركيبي حيث تصل في هذه السحنة إلى ما نسبته (15-20%) وافيتوكلاست إلى (20-25%) من مجمل المادة العضوية. بالنسبة للمواد العضوية عديمة الشكل التركيبي (AOM) فهي أوفر حظاً حيث تصل نسبتها إلى حوالي (40-60%) مما يدل على أن المادة العضوية الرسوبية المتواجدة في هذه البيئة الترسيبية قد تعرضت لعوامل التجريد (Degradation processes) التي تتمثل في بيئة متبخرات تخللتها فترات قصيرة جداً من تقدم البحر لترسيب طبقات الطفل، من الملاحظ أيضاً أن هذه السحنة غنية بالبيريث مما يدل على ما ذكر سابقاً وتواجد البكتريا اللاهوائية التي أسهمت في تجريد وتكسير المادة العضوية الرسوبية (SOM) لتصبح مواد عضوية عديمة الشكل (AOM) تقع هذه السحنة كلياً في نطاق عضو صافر الملحي، لذا تتواجد هذه السحنة في معظم آبار الحوض وخاصة آبار ريدان و ألف ولكنها لا توجد قطعياً في بئر حمير-1. من ذلك نستدل أن هذه السحنة تضمحل حتى تختفي باتجاه الشمال الغربي للحوض كما هو موضح في الأشكال (1-2، 8).

الاستنتاجات Conclusions

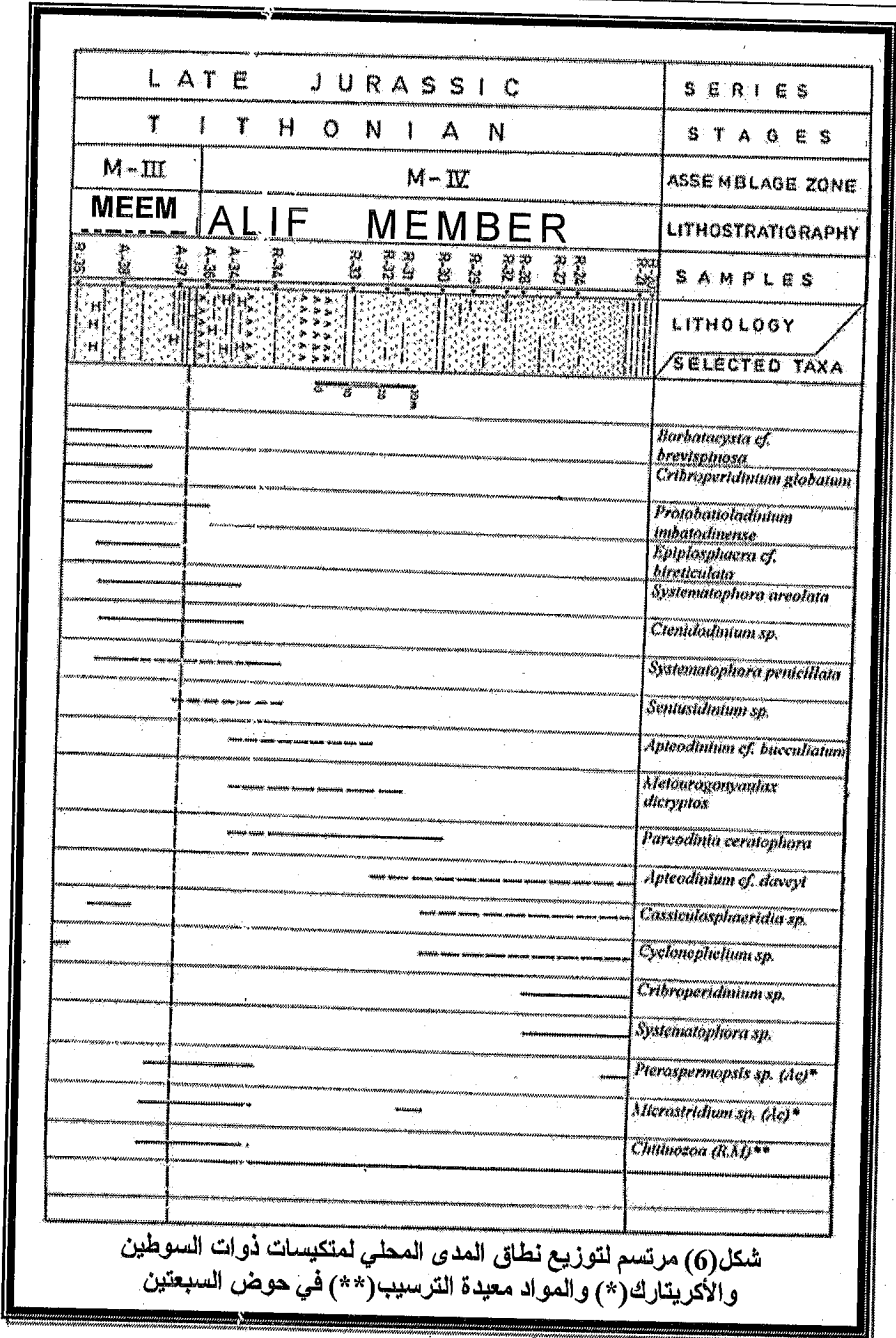
- أظهرت خارطة توزيع الانطقة الحياتية للمتحجرات العضوية الدقيقة وجود أربعة انطقة حياتية من انطقة التجمع (MIV-MI) باعتماد (LAD&FAD).
- وجود أربع سحنات الباليولوجية (PF4-PF1) باعتماد التعداد الإحصائي للمواد العضوية الرسوبية بأنواعها المختلفة والتي تدل على وجود دورة ترسيبية واحدة هي دورة الكيمريدجين-تيثونين (Kimmeridgian-Tithonian) ممثلة لتقدم بحري صاحب تكون الحوض الأخدودي (SYN-RITT PHASE) وانتهت هذه الدورة بتراجع بحري وترسيب متبخرات عضو صافر الملحي.
- أمكن تحديد عمر تكوين مدبي بالكيمريدجين (Kimmeridgian) ، وتكوين السبعين بالكيمريدجين المتأخر - التيثوني (Late Kimmeridgian-Tithonian)

L A T E J U R A S S I C										S E R I E S	
K I M M E R I D G I A N							T I T H O N I A N			S T A G E S	
M - I			M - II				M - III			A S S E M B L A G E Z O N E	
M E E M				L A M M E M B E R						L I T H O S T R A T I G R A P H Y	
H		S		G		K		N		S	
										S A M P L E S	
										L I T H O L O G Y	
										S E L E C T E D T A X A	
										<i>Callialasporites cf. irilobatus</i>	
										<i>Cyathidites australis</i>	
										<i>Verrucosporites asymmetricus</i>	
										<i>Deltoidospora psilostoma</i>	
										<i>Callialasporites irilobatus</i>	
										<i>Concavissimisporites sp.</i>	
										<i>Gleichmildites senectus</i>	
										<i>Araucariacites australis</i>	
										<i>Verrucosporites sp.</i>	
										<i>Callialasporites dampieri</i>	
										<i>Classopollis classoides</i>	
										<i>Classopollis sp.</i>	
										<i>Dicotyphylulites harrisi</i>	
										<i>Concavissimisporites verrucosus</i>	
										<i>Cicatricosisporites annulatus</i>	
										<i>Cicatricosisporites araliae</i>	
										<i>Deltoidospora hallii</i>	
										<i>Osmundacidites senectus</i>	
										<i>Concavissimisporites parkii</i>	
										<i>Concavissimisporites minus</i>	

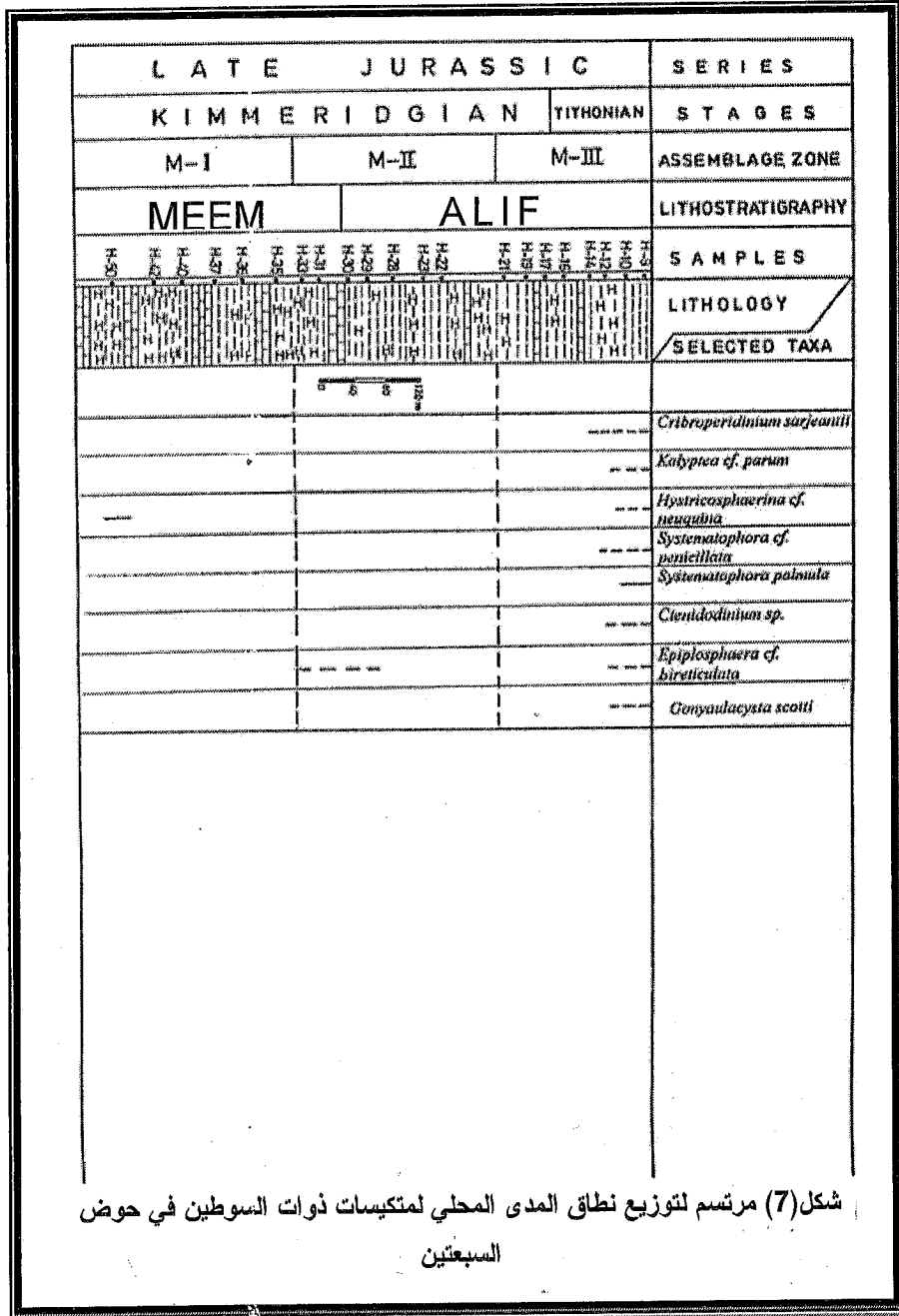
شكل (3) مرسم لتوزيع نطاق المدى المحلي للأبواغ وحبوب الطلع ذي حوض السبعيتين

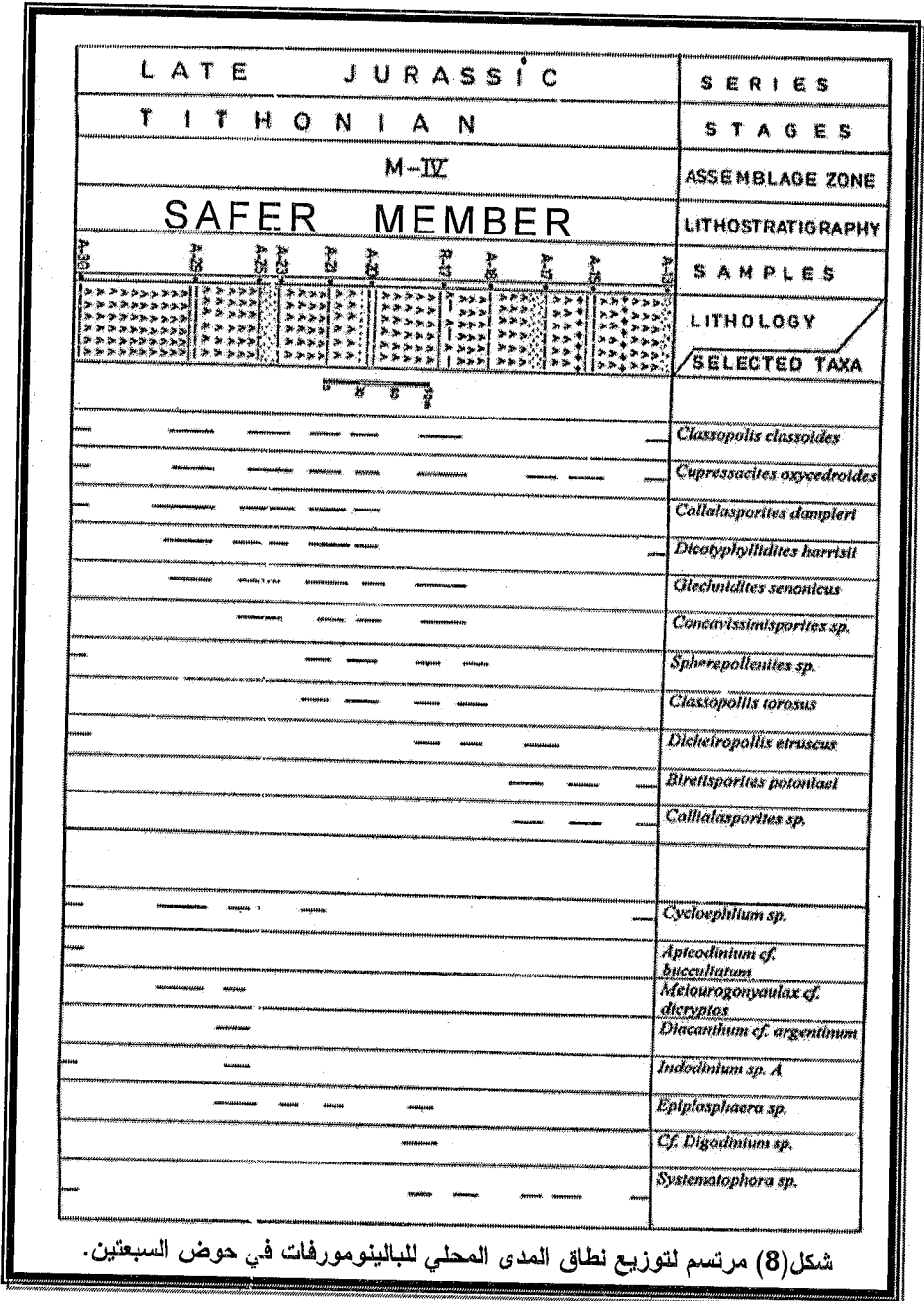


شكل (4) مرتمس لتوزيع نطاق المدى المحلي للأبواغ وحبوب الطلع في حوض السبعين



شكل (6) مرسم لتوزيع نطاق المدى المحلي لمتكيسات ذوات السوطين والأكريتارك (*) والمواد معيدة الترسيب (***) في حوض السبعين





شكل (8) مرتسم لتوزيع نطاق المدى المحلي للباليينومورفات في حوض السبعتين.

References المراجع

- Beydoun, Z.R; As- Saruri, M.A.L; El-Nakhal,H.; Al-Ganad, I.N; Baraba, R.S.; Nani,A.S.O. and Al-Aawah, M.H (1998): International Lexicon of Stratigraphy. Volume III, Republic of Yemen. IUGS Publication No.34, p.245.
- Davey, R. J. (1979): The stratigraphic distribution of dinocysts in the Portlandian (Latest Jurassic) to Barremian (Early Cretaceous) of Northwest Europe. AASP Contribution Ser. No. 5B: 49-81.
- Davey, R. J. (1982): Dinocyst stratigraphy of the Latest Jurassic to Early Cretaceous of Haldager No. 1 borhole, Denmark. Geo. Surv. Of Denmark, Ser. B No. 6: 1-57.
- Davey, R. J. (1988): Palynological zonation of the Lower Cretaceous, Upper and Uppermost Middle Jurassic in the northwestern Papuan Basin of Papuan New Guinea. Mem. Geol. Surv. Papua/New Guinea, Vol. 13: 1-80.
- Durr, G. (1988): Palynostratigraphie des Kimmeridgian und Tithonian von Suddeutschland und korrelation mit borealen floren. Tubinger Mikropalaontologische Mitteilungen Nr.5: 1-160.
- Gitmez, G. U. and Sarjeant, W. A. S. (1972): Dinoflagellate cysts and acritarchs from Kimmeridgian (Upper Jurassic) of England, Scotland and France. Bulletin of British Museum (Natural History) Geology, 21(5): 171-257.
- Helby, R.; Morgan, R. and Partridge, A. D. (1987): A Palynological zonation of the Australian Mesozoic. In: Jell, P. A., (ed.), Studies in Australian Mesozoic Palynology; Association of Australian Paleontologists, Memoir 4: 1-85.
- Hunt, C. O. (1985): Miospores from the Portland Stone Formation and the Lower Part of the Purbeck Formation (Upper Jurassic / Lower Cretaceous) from Dourest, England. Pollen Et Spores, Vol. XL, No. 3-4: 419-451.
- Jan Du Chene, R. E.; De Klasz, I. and Architong, E. F. (1978): Biostratigraphic study of the borehole OJI-1, SW Nigeria, with special emphasis on the Cretaceous microflora. Rev. Micropaleontology. Vol. 21, No. 3: 123-139.
- Jiang, Q.; Mungai, C. D. and Neves, R. (1992): Late Jurassic Dinoflagellate assemblages of the Mto Panga Quarry, Mombassa, Kenya. Review of Palaeobotany and Palynology, 74: 77-100.

- Lentin, J. K. and Vozzhennikova, T. F (1990):** Fossil dinoflagellates from Jurassic, Cretaceous and Paleogene deposits of the USSR- A re-study. *Am. Asso. Strat. Palyn. Cont. Ser. No. 23:* 1-222.
- Olmstead, G. A., Cornell, W. C. and Waanders, G. L. (1996):** Oxfordian-Kimmeridgian (Jurassic) Dinoflagellate cysts from the Chiricahua Mountains, Arizona. *Palynology, Vol. 20:* 221-230.
- Poulsen, N. E. (1996):** Dinoflagellate cyst from Marine Jurassic deposits of Denmark and Poland. *AASP Cont. Ser. No. 31:* 1-227.
- Quattrocchio, M. and Sarjeant, W. A. S. (1992):** Dinoflagellate cyst and acritarchs from the Middle and Upper Jurassic of the Neuquen Basin, Argentina. *Revista Espanola De Micropalaeontologia, Vol. 24, No. 2:* 67-118.
- Ridding, J. B. and Thomas, J. E. (1988):** Dinoflagellate cyst stratigraphy of Kimmeridge clay (Upper Jurassic) from the Dorset Coast, Southern England. *Palynology, Vol.12:* 65-88.
- Ridding, J. B. and Thomas, J. E. (1992):** Dinoflagellate cysts of Jurassic System. In: Powell, A. J. (ed.), *A stratigraphic Index of dinoflagellate cysts.* Chapman & Hall, London, UK: 7-97.
- Sarjeant, W. A. S. (1975):** Stratigraphic range charts: Triassic and Jurassic Dinoflagellates. *AASP Contributions Series, No. 4:* 51-69.
- Sarjeant, W. A. S. (1979):** Middle and Upper Jurassic dinoflagellate cysts: The world excluding North America. *AASP Cont. Ser. No. 5B:* 133-157.
- Sarjeant, W. A. S. (1982):** The dinoflagellate cysts of the Gonyaulacysta group: a morphological and taxonomic study. *AASP Cont. Ser. No.9:* 1-84.
- Thusu, B. and Vigran, J. O. (1985):** Middle-Late Jurassic (Late Bathonian-Tithonian) Palynomorphs. In: Thusu, B. and Owens, B. (eds.), *Palynostratigraphy of North-East Lybia, J. Micropalaeant., Vol. 4(1):*113-130.
- Thusu, B.; Van Der Eem, J. G. L. A.; El-Mehdawi, A. and Bu-Argoub, F. (1988):** Jurassic -Early Cretaceous palynostratigraphy in northeast Libya. In: El-Arnauti, A. et. al. (ed.), *Subsurface palynostratigraphy of northeast Libya, Garyounis Univ. Public.,* 171-213.